
 SG_1 sondowanie magnetotelluryczne
 profil magnetotelluryczny

Figura 3.7.8.1. Lokalizacja sondowań magnetotellurycznych na tle mapy topograficznej podkład-Mapa Topograficzna Polski źródło:<http://mapy.geoportal.gov.pl/wss/service/img/guest/TOPO/MapServer/WMSServer> -rejon badań -Srebrna Góra

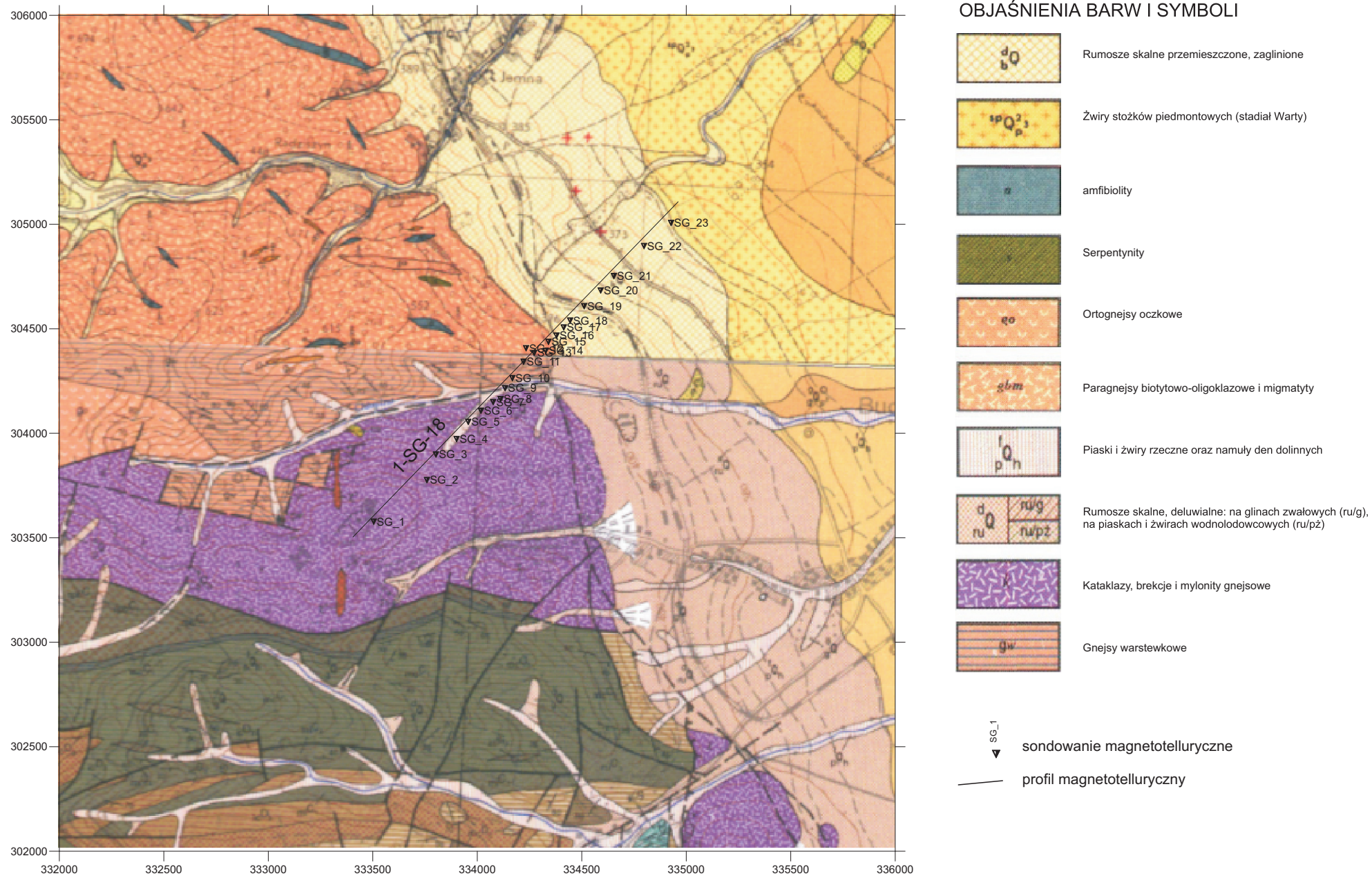


Figura 3.7.8.2. Lokalizacja sondowań magnetotellurycznych na tle Szczegółowej Mapy Geologicznej Sudetów rejon- Srebrna Góra,- fragment arkuszy: M-33-58-A-b OSTROSZOWICE- opracował: S. TREPKA i O. GAWROŃSKI-1957 r. i M-33-58-A-d BARDO - opracowali: J. OBERC, J. BADURA, B. PRZYBYLSKI, L. JAMROZIK- 1994 r., skala 1:25 000

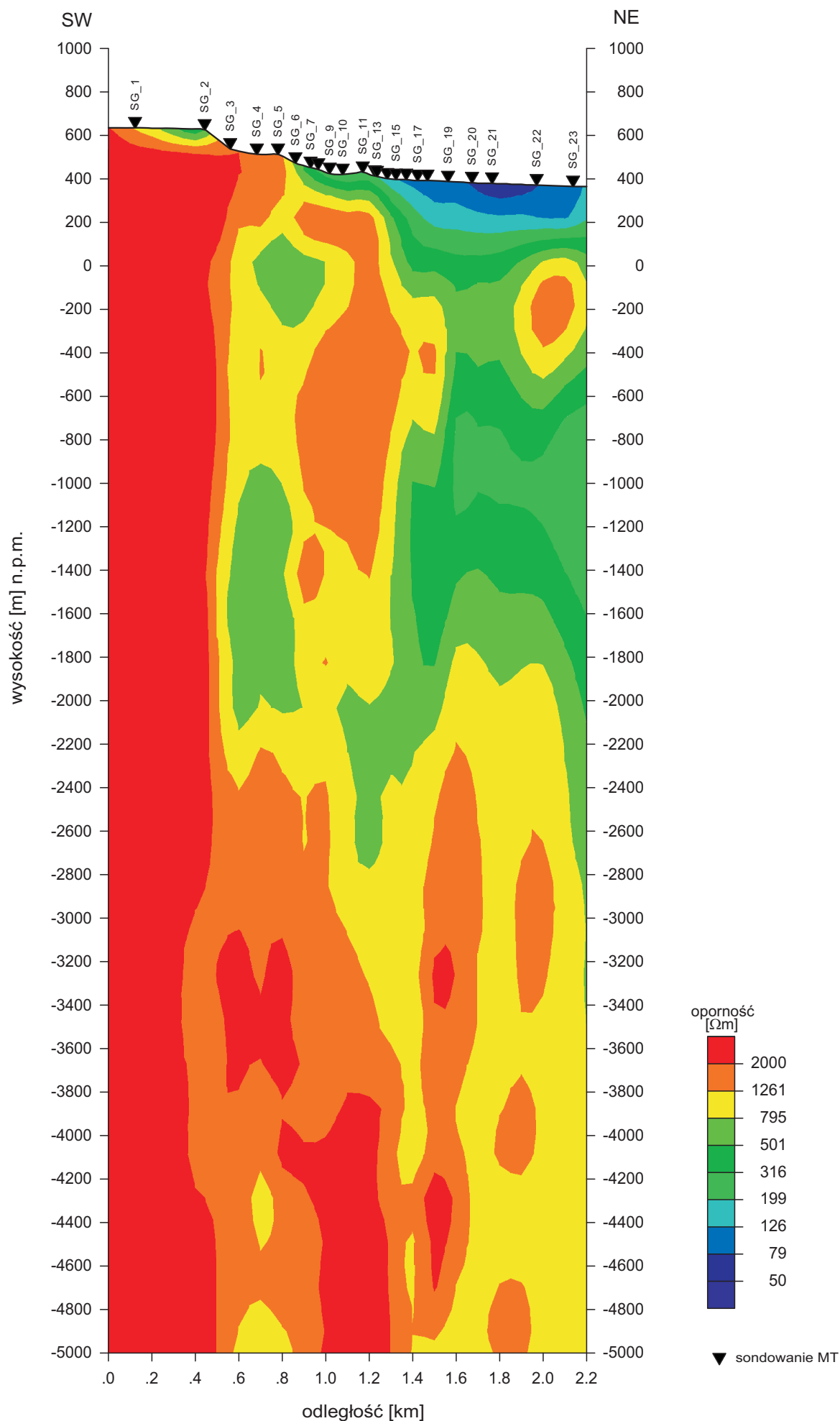


Figura 3.7.8.3. Rozkład oporności wzdłuż profilu 1-SG-18 Srebrna Góra na podstawie inwersji 1D wg algorytmu Occama dla polaryzacji magnetycznej

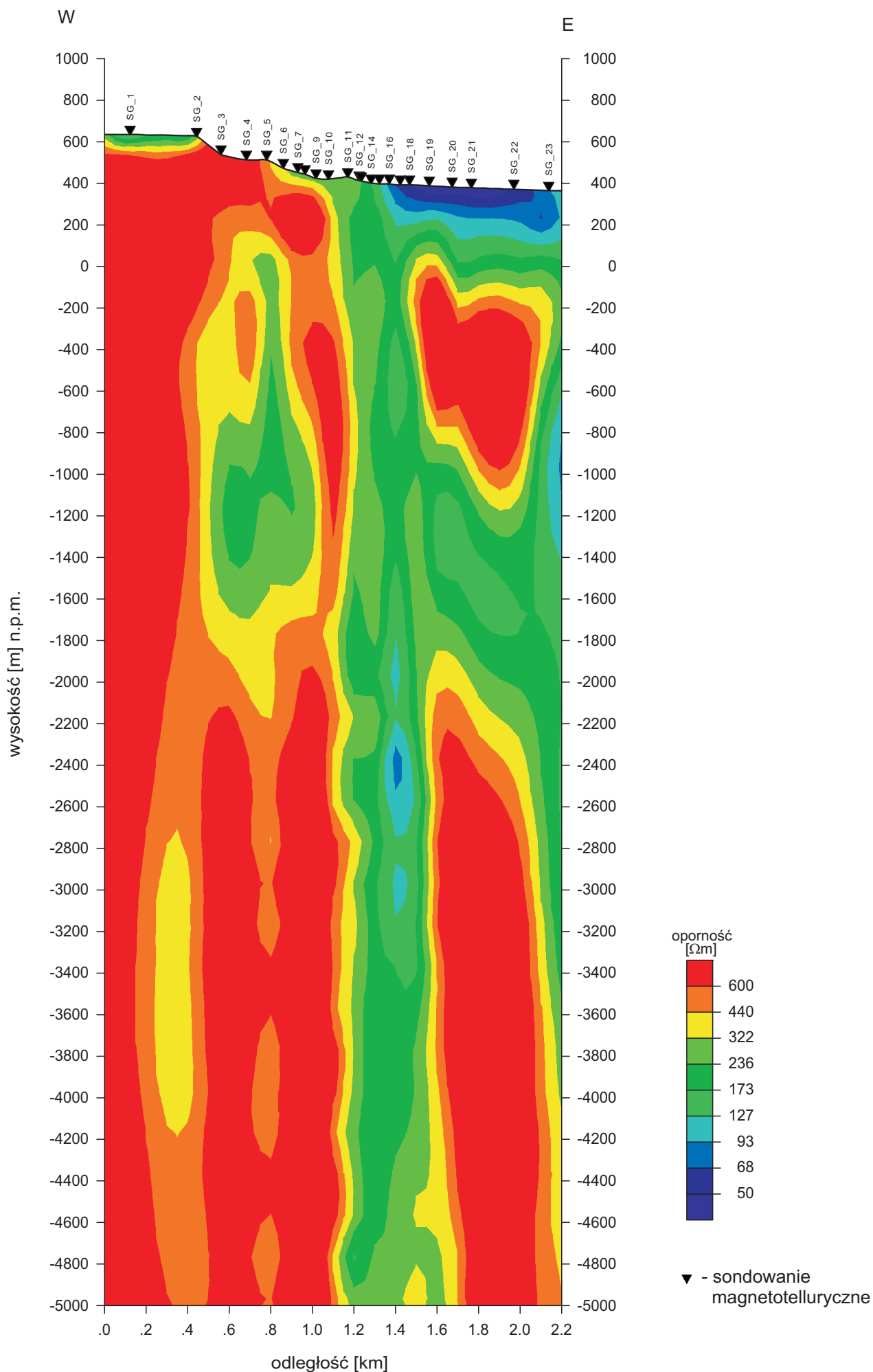


Figura 3.7.8.4. Rozkład oporności wzdłuż profilu 1-SG-18 Srebrna Góra na podstawie inwersji 1D wg algorytmu Occama dla polaryzacji elektrycznej

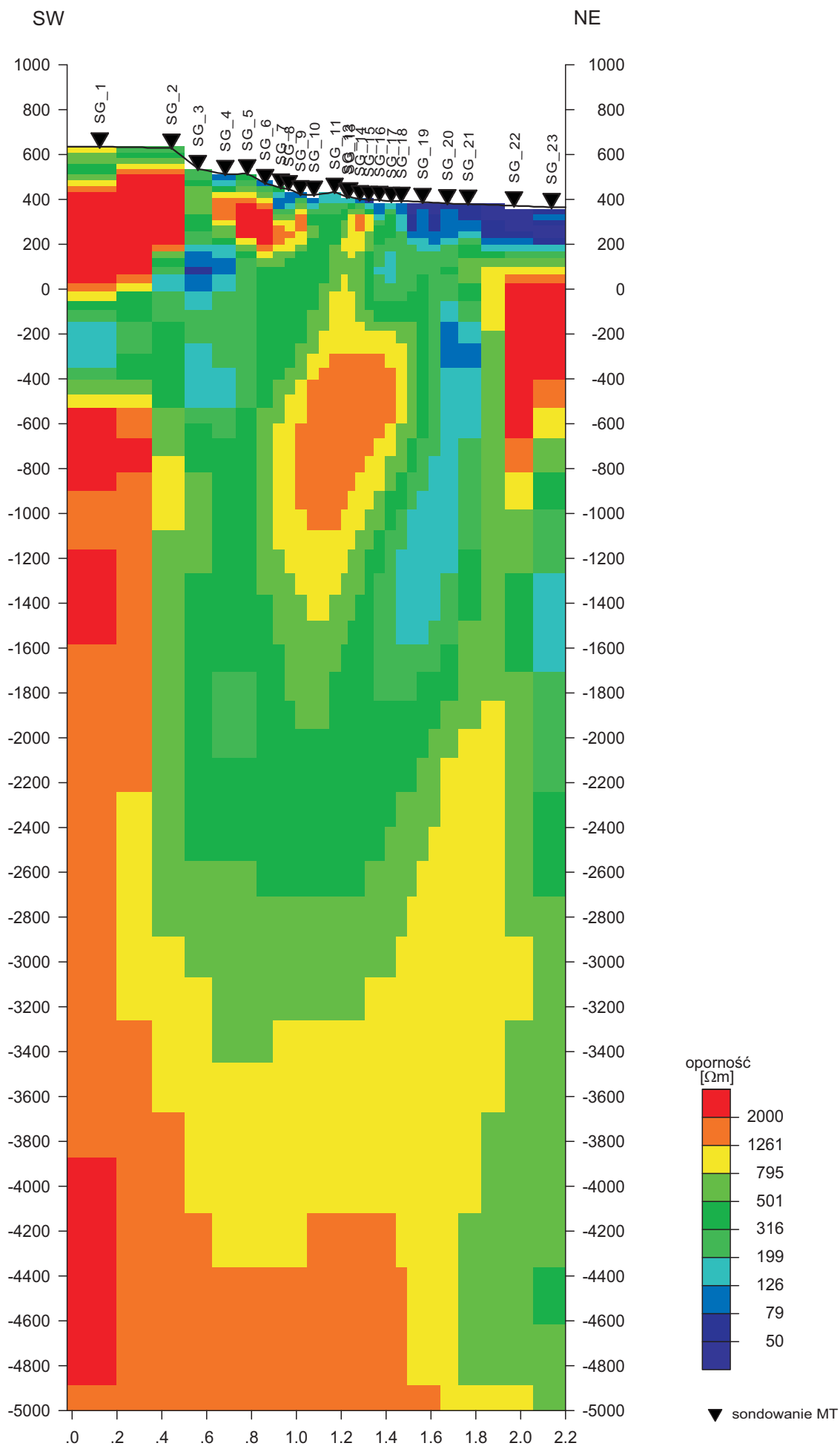


Figura 3.7.8.5. Rozkład oporności wzdłuż profilu 1-SG-18 Srebrna Góra na podstawie inwersji 2D wg algorytmu NLCG

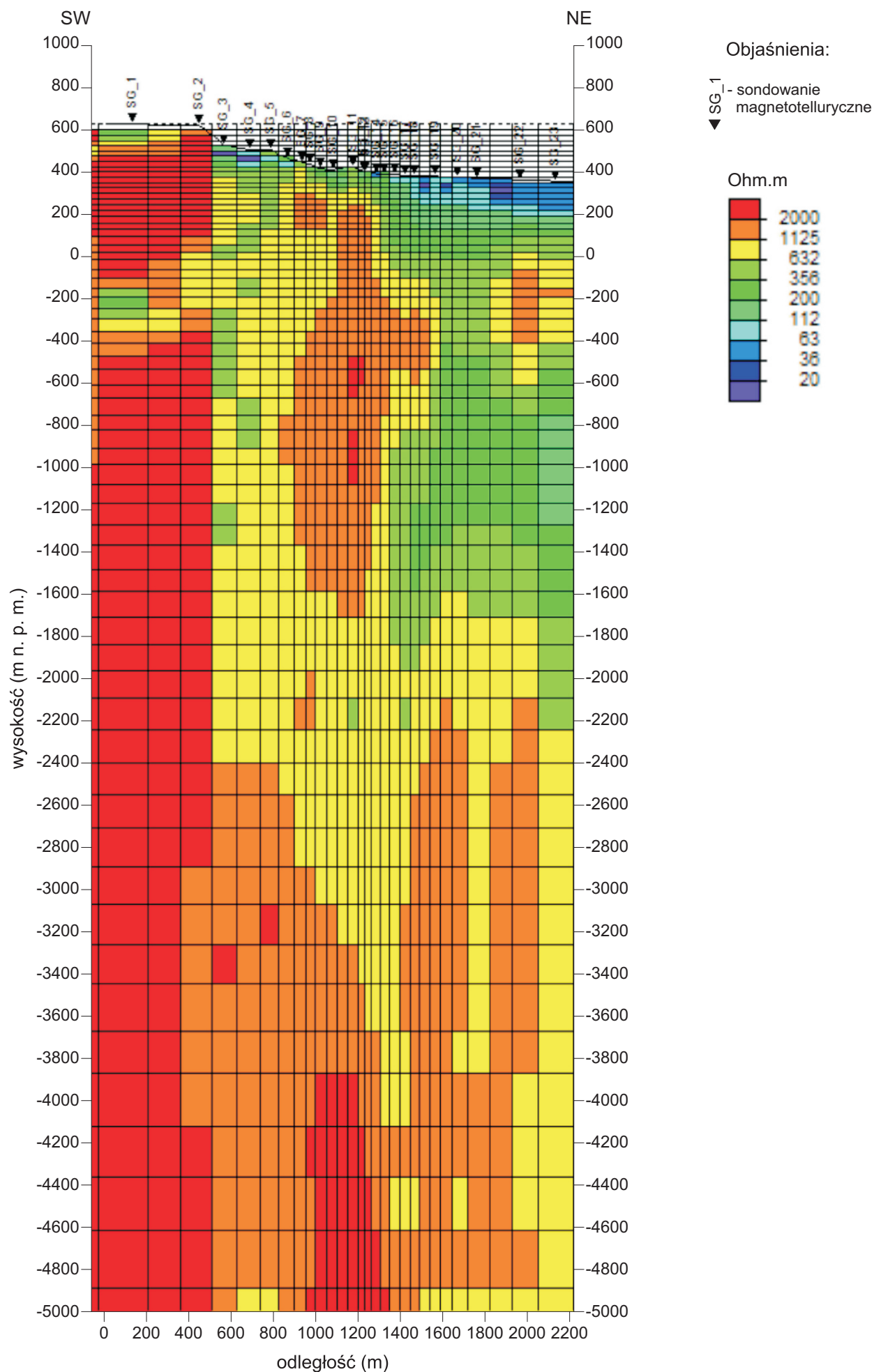


Figura 3.7.8.5a Rozkład oporności wzdłuż profilu 1-SG-18 Srebrna Góra na podstawie inwersji 2D wg algorytmu NLCG (iteracja 3)

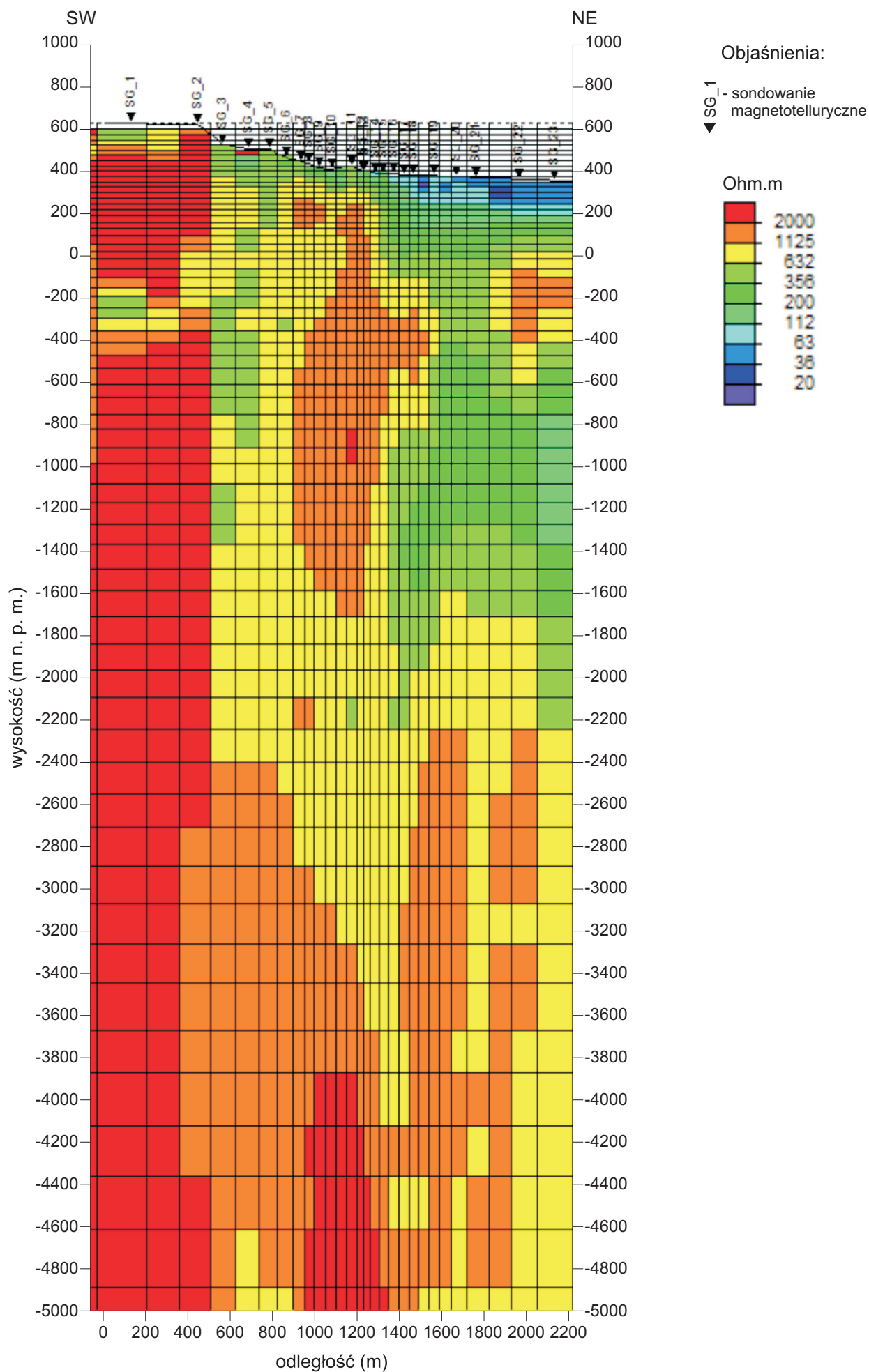


Figura 3.7.8.5b Rozkład oporności wzdłuż profilu 1-SG-18 Srebrna Góra na podstawie inwersji 2D wg algorytmu NLCG (iteracja 6)

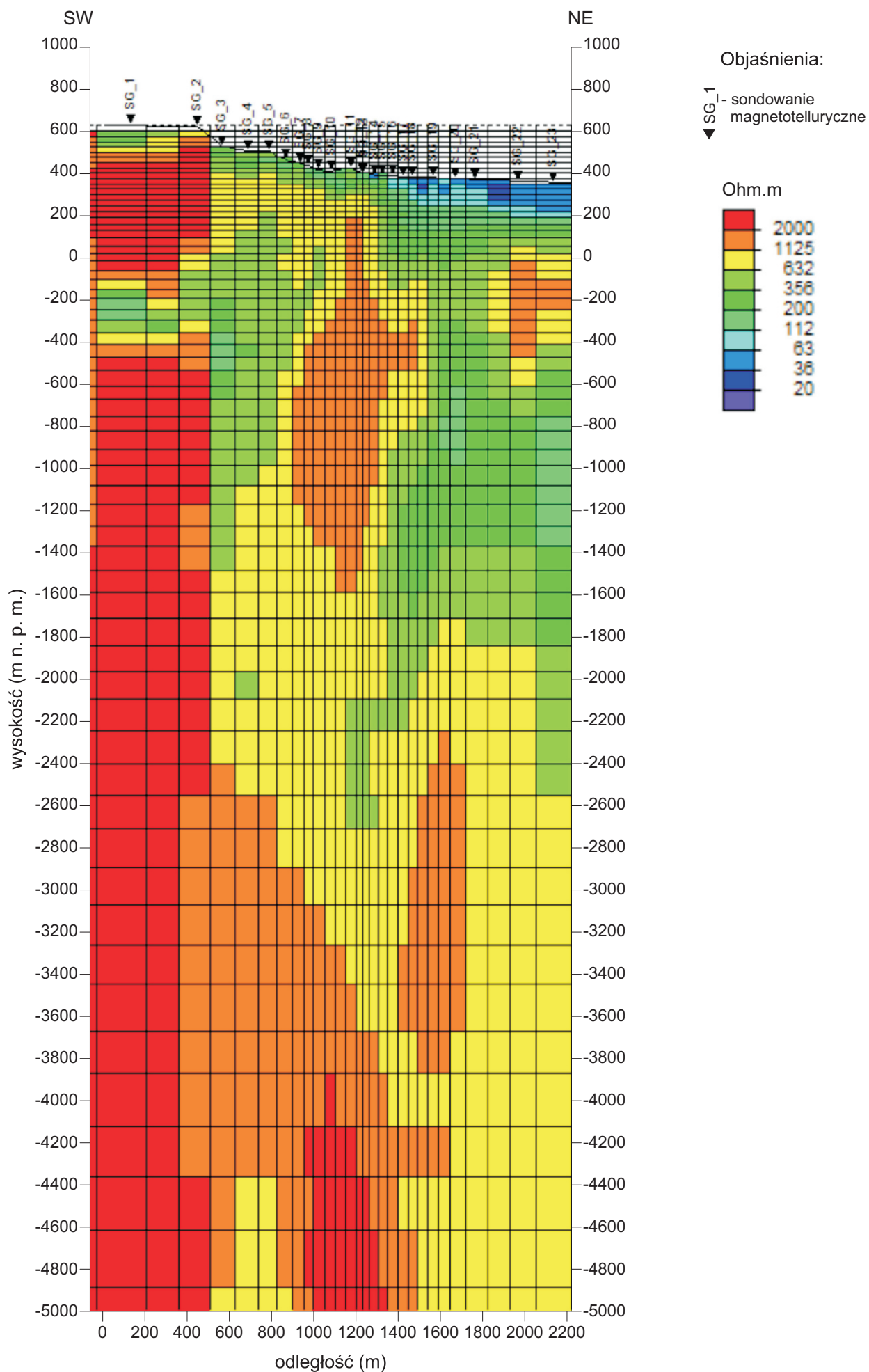


Figura 3.7.8.5c Rozkład oporności wzdłuż profilu 1-SG-18 Srebrna Góra na podstawie inwersji 2D wg algorytmu NLCG (iteracja 9)

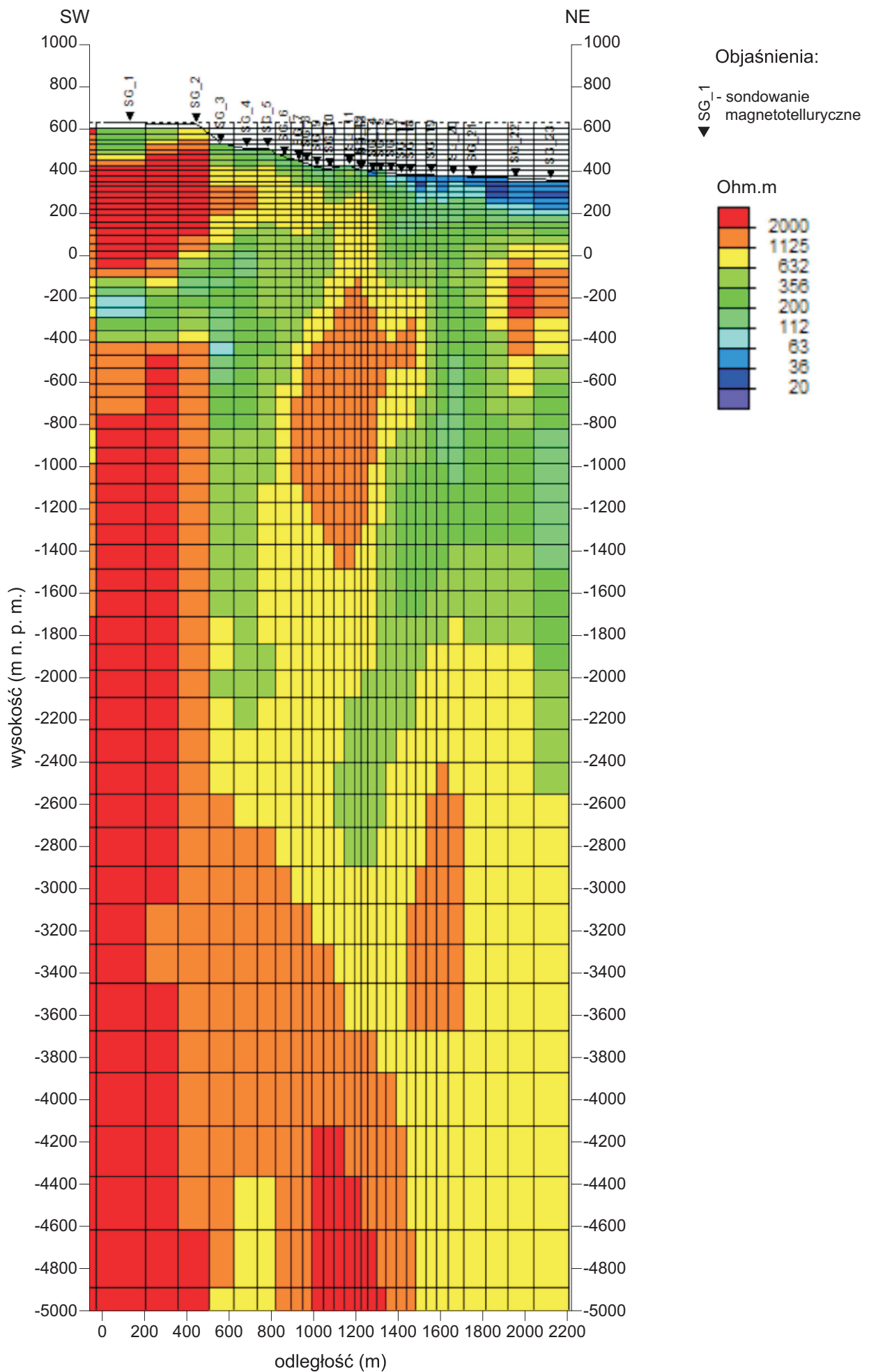


Figura 3.7.8.5d Rozkład oporności wzdłuż profilu 1-SG-18 Srebrna Góra na podstawie inwersji 2D wg algorytmu NLCG (iteracja 12)

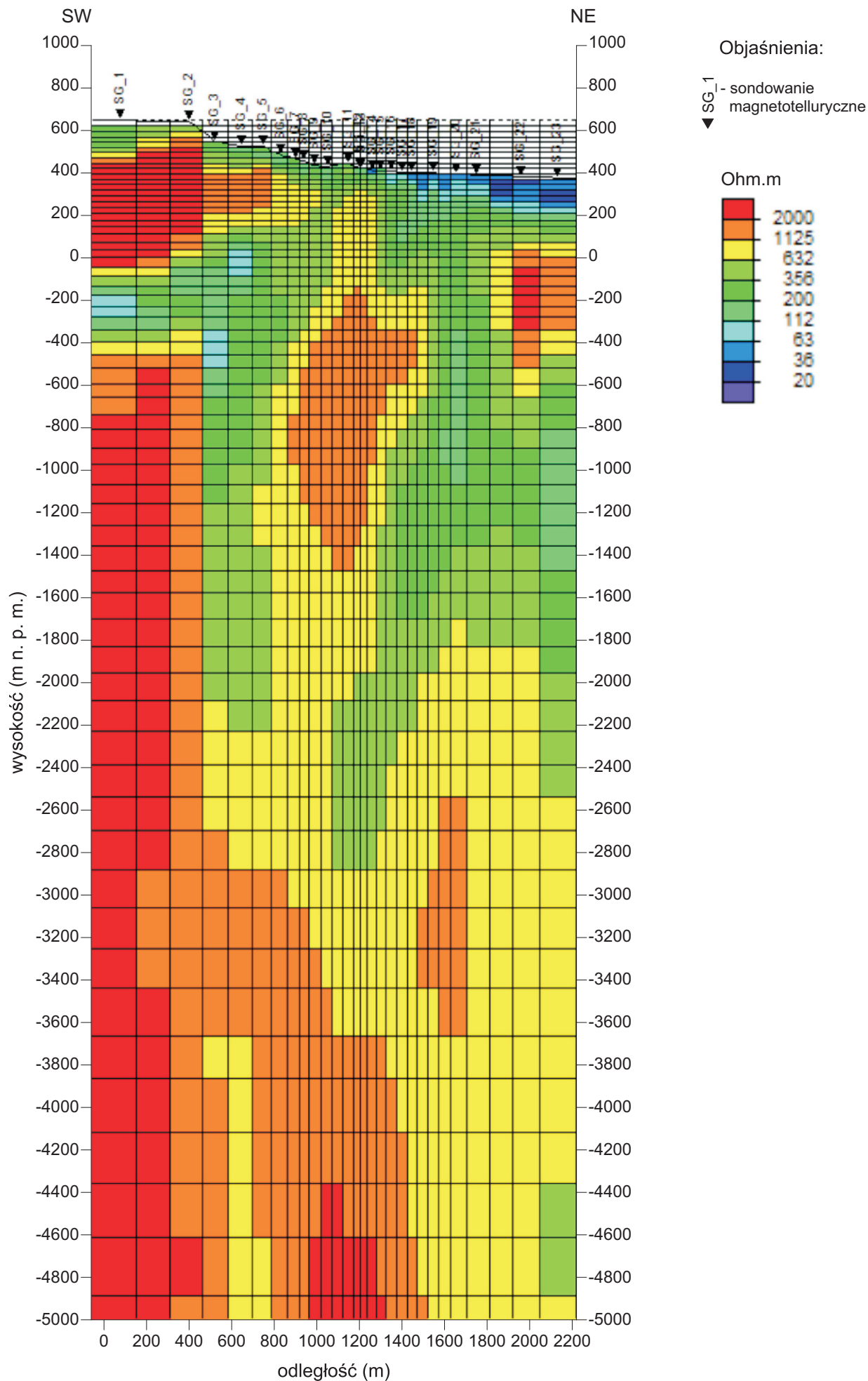


Figura 3.7.8.5e Rozkład oporności wzdłuż profilu 1-SG-18 Srebrna Góra na podstawie inwersji 2D wg algorytmu NLCG (iteracja 15)

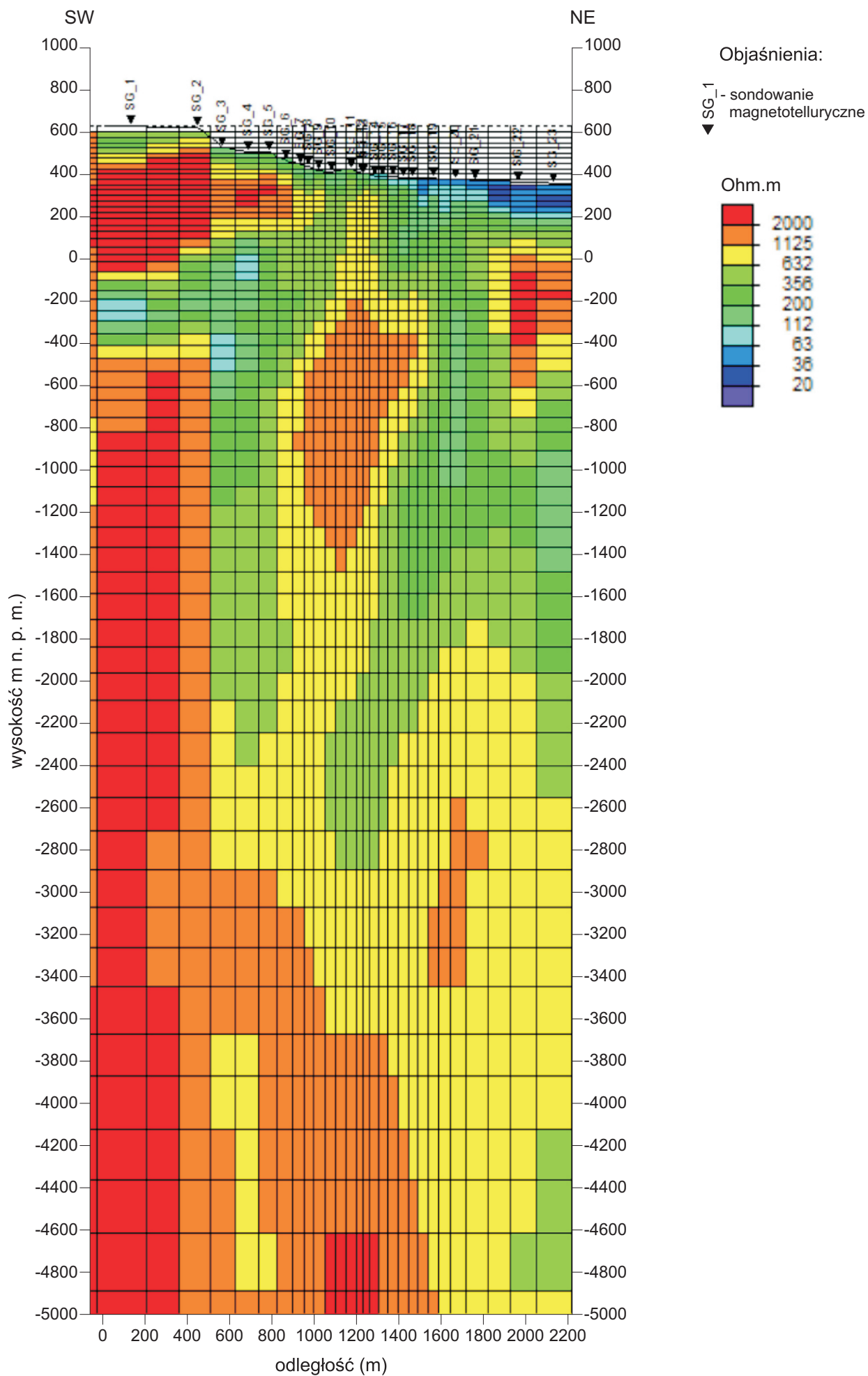


Figura 3.7.8.5f Rozkład oporności wzdłuż profilu 1-SG-18 Srebrna Góra na podstawie inwersji 2D wg algorytmu NLCG (iteracja 18)

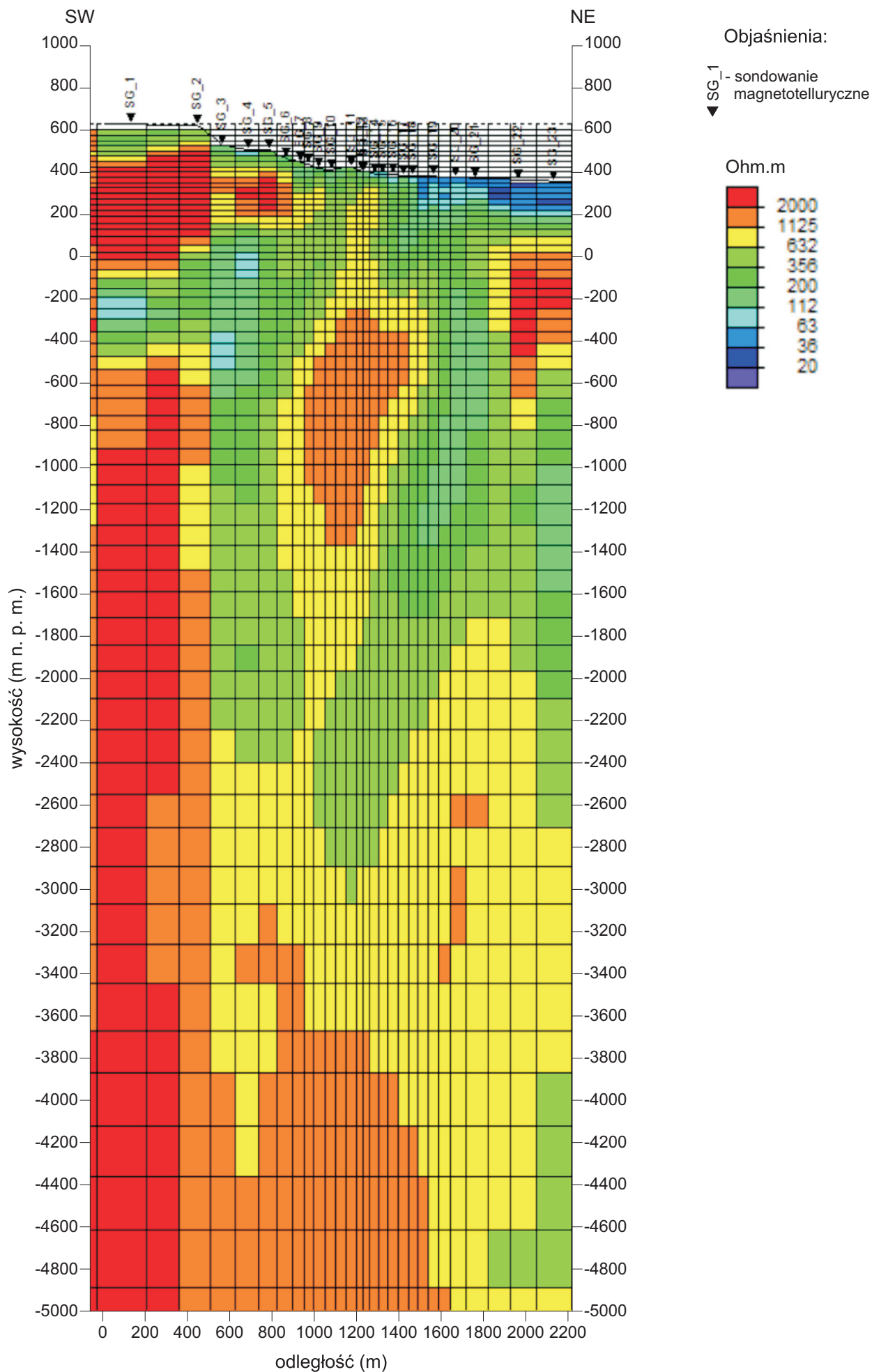


Figura 3.7.8.5g Rozkład oporności wzdłuż profilu 1-SG-18 Srebrna Góra na podstawie inwersji 2D wg algorytmu NLCG (iteracja 21)

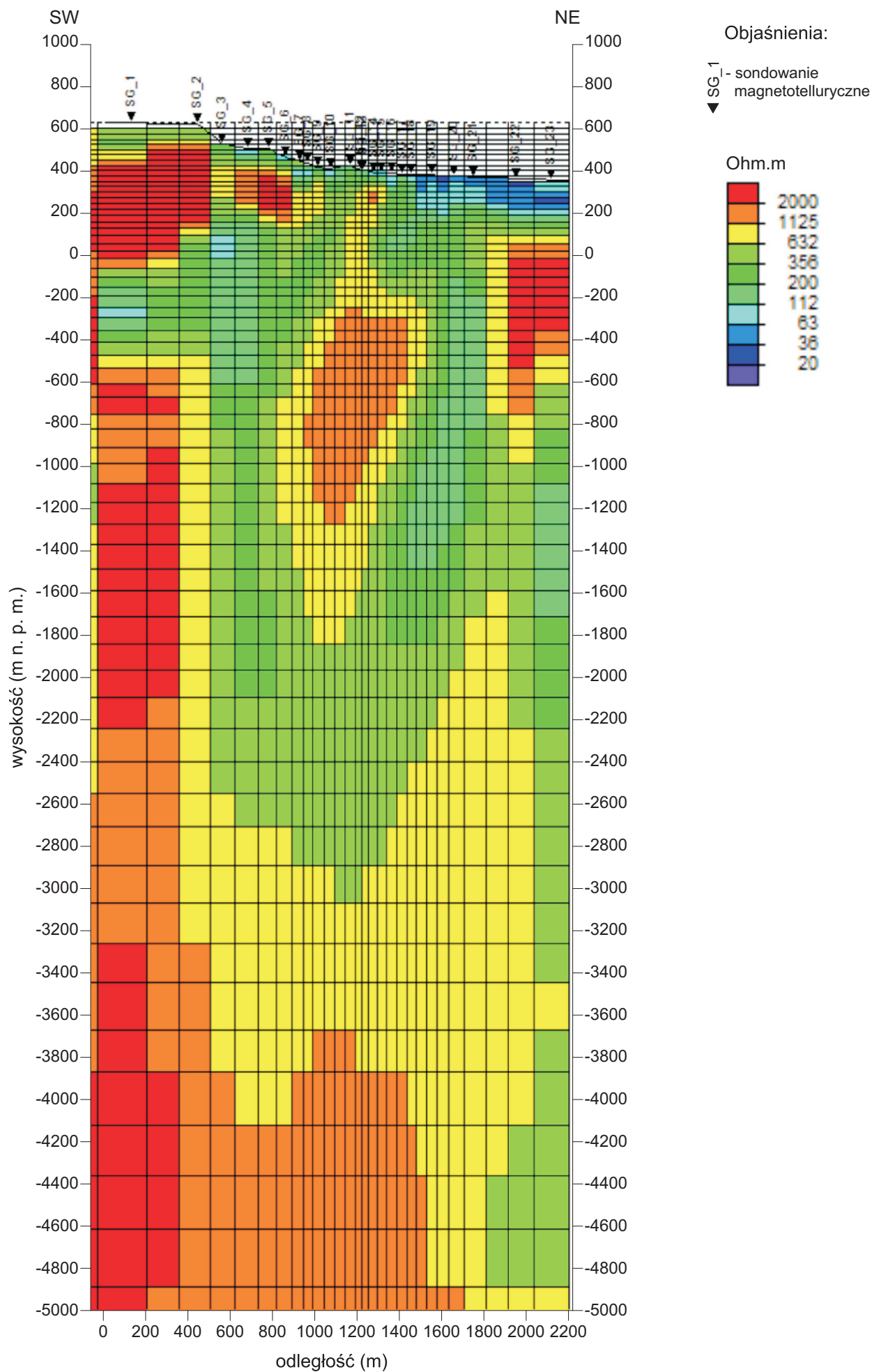


Figura 3.7.8.5h Rozkład oporności wzdłuż profilu 1-SG-18 Srebrna Góra na podstawie inwersji 2D wg algorytmu NLCG (iteracja 24)

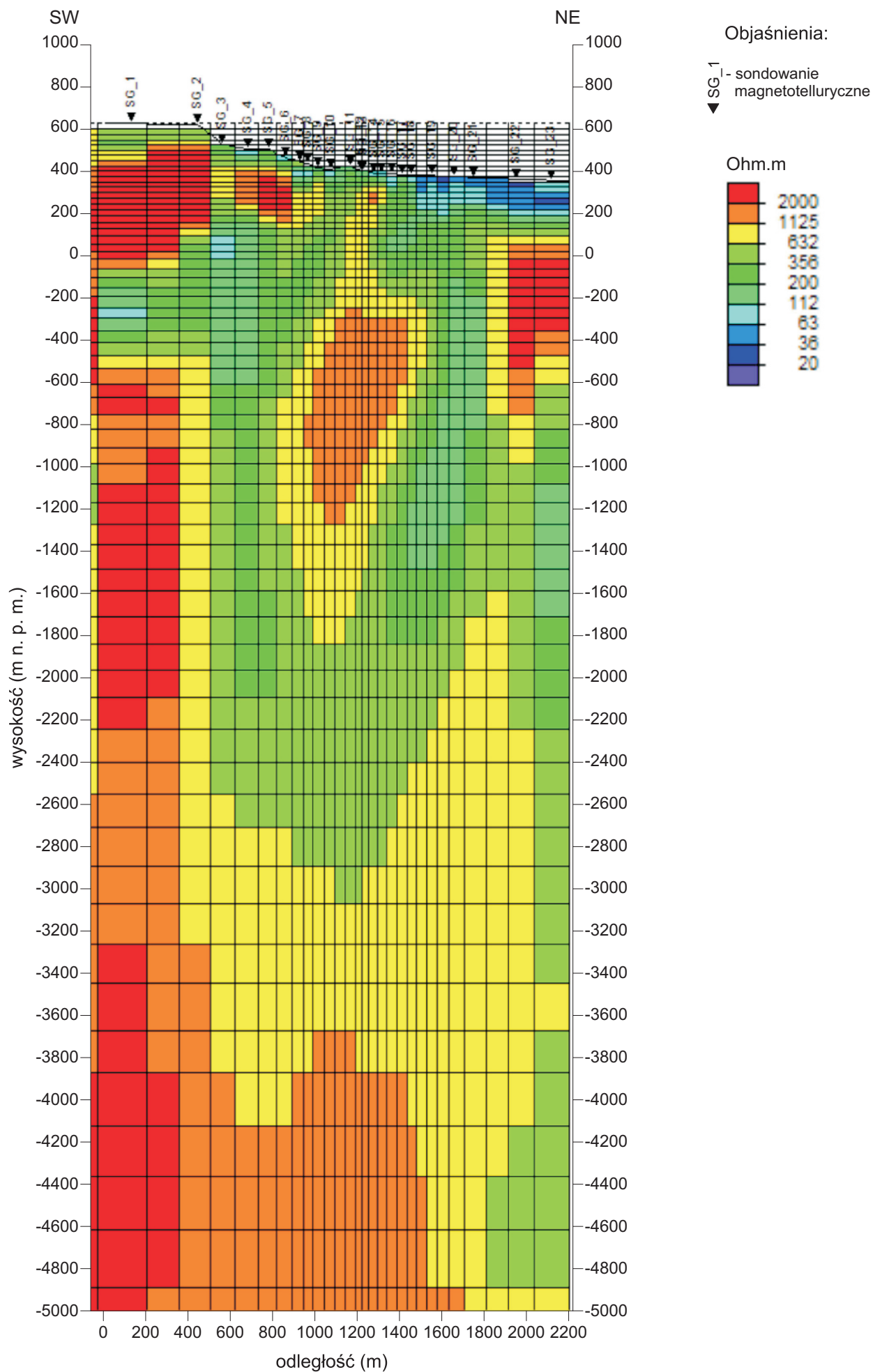


Figura 3.7.8.5i Rozkład oporności wzdłuż profilu 1-SG-18 Srebrna Góra na podstawie inwersji 2D wg algorytmu NLCG (iteracja 27)



Figura 3.7.8.5j Rozkład oporności wzdłuż profilu 1-SG-18 Srebrna Góra na podstawie inwersji 2D wg algorytmu NLCG (iteracja 30)

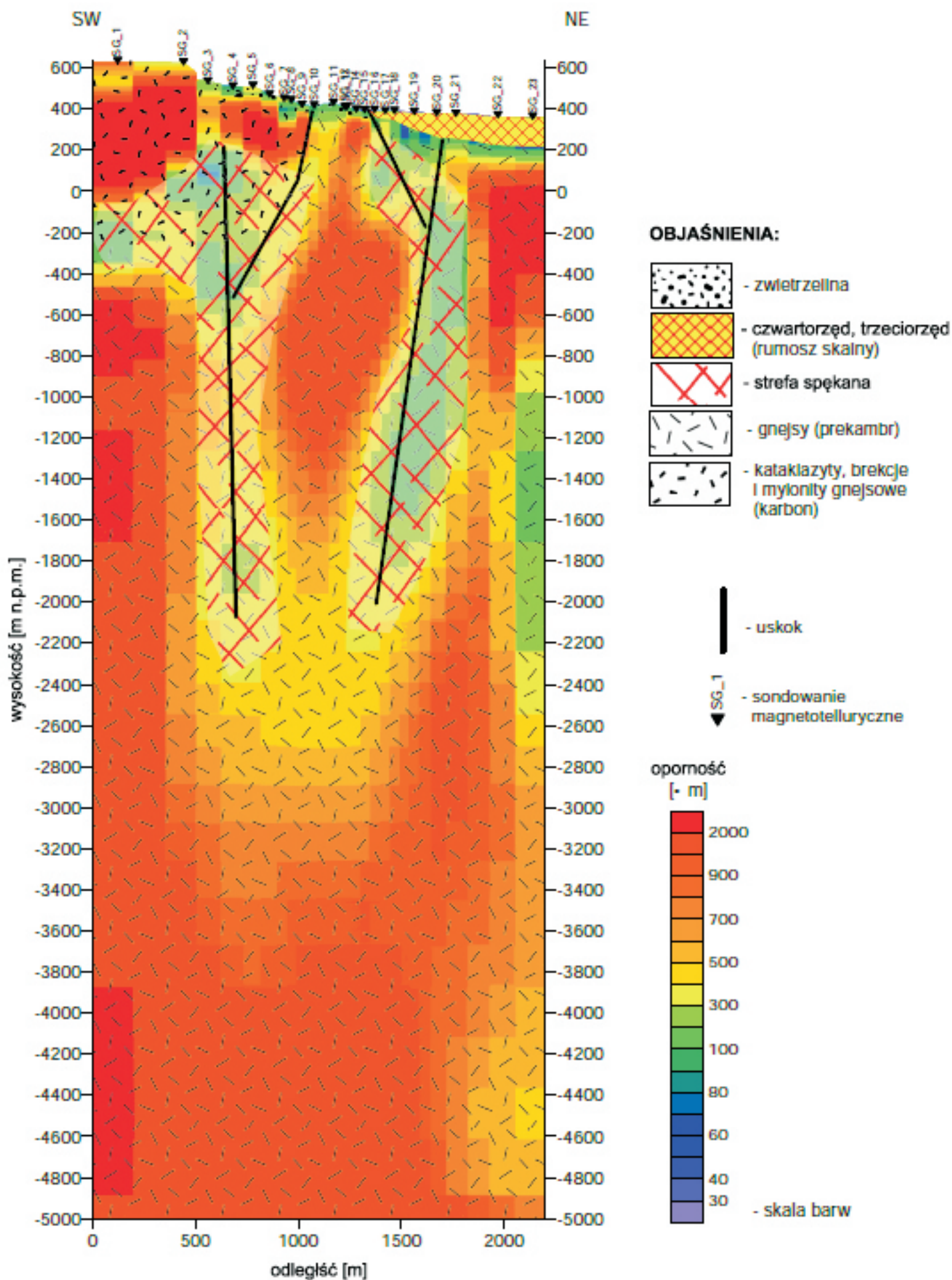


Figura 3.7.8.6. Interpretacja geologiczna wzdłuż profilu 1-SG-18 Srebrna Góra wykonana na podstawie rozkładu oporności uzyskanego w wyniku inwersji 2D wg algorytmu NLGC oraz danych geologicznych